

NuS Zusammenfassung

Andreas Biri, D-ITET 31.07.13

Einheiten

$$\begin{aligned} 1 \text{ J} &= 1 \text{ Nm} = 1 \text{ Ws} = 1 \text{ VC} \\ 1 \text{ W} &= 1 \text{ Nm/s} = 1 \text{ VA} \\ 1 \text{ V} &= 1 \text{ W/A} = 1 \text{ J/C} = 1 \text{ Nm/C} \\ 1 \Omega &= 1 \text{ V/A} = 1 \text{ W/A}^2 \\ 1 \text{ C} &= 1 \text{ As}, 1 \text{ F} = 1 \text{ C/V} = 1 \text{ As/V} \\ 1 \text{ T} &= \text{Vs/m}^2 = 1 \text{ N/Am}, 1 \text{ H} = 1 \Omega \text{ s} \end{aligned}$$

Natürliche Konstanten

$$\begin{aligned} 1e &= 1.602 \cdot 10^{-19} \text{ C}; 1 \text{ C} = 6.24 \cdot 10^{18} e \\ m_e &= 9.11 \cdot 10^{-31} \text{ kg} \quad g = 9.81 \text{ m s}^{-2} \\ \epsilon_0 &= 8.854 \cdot 10^{-12} \text{ As/Vm} \quad c^2 = \frac{1}{\epsilon_0 \mu_0} \\ \mu_0 &= 4\pi \cdot 10^{-7} \text{ m} \cdot \text{kg} \cdot \text{s}^{-2} \cdot \text{A}^{-2} \\ u &= 1.66057 \cdot 10^{-27} \text{ kg} \end{aligned}$$

Elektrostatische Feld

Coulomb'sche Gesetz:

$$F = \frac{1}{4\pi \epsilon_0} \cdot \frac{Q_1 \cdot Q_2}{r^2} = E \cdot Q$$

Elektrische Feldstärke E [V/m]:

$$E_1 = \frac{F_2}{Q_2} = \frac{1}{4\pi \epsilon_0} \cdot \frac{Q_1}{r^2} = \frac{Q}{A \cdot \epsilon_0 \cdot \epsilon_r}$$

Ladungsdichten $Q = \int_l \lambda = \int_A \sigma = \int_V \rho$

$$\text{Linienladungsdichte} \quad \lambda = \frac{dQ}{dl} \quad \left[\frac{\text{C}}{\text{m}} \right]$$

$$\text{Flächenladungsdichte} \quad \sigma = \frac{dQ}{dA} \quad \left[\frac{\text{C}}{\text{m}^2} \right]$$

$$\text{Raumladungsdichte} \quad \rho = \frac{dQ}{dV} \quad \left[\frac{\text{C}}{\text{m}^3} \right]$$

Elektrische Arbeit W [J]

$$W_e = - \int_{P_1}^{P_2} F dl = Q_p \cdot \varphi(r) = Q \cdot U$$

Elektrisches Potential φ [V]

$$\varphi(r) = \frac{W}{Q_p} = \frac{Q}{4\pi \epsilon_0} \left(\frac{1}{r_2} - \frac{1}{r_1} \right)$$

Für Bezugspunkt im Unendlichen ($r_1 \rightarrow \infty$)

$$\varphi(r) = \frac{Q}{4\pi \epsilon_0 r}$$

Elektrische Spannung U [V]

$$U_{12} = \int_{P_1}^{P_2} \vec{E} ds = \frac{W_{12}}{Q} = \varphi(r_1) - \varphi(r_2)$$

Umlaufintegral verschwindet: $\oint \vec{E} d\vec{s} = 0$

Elektrische Flussdichte D

$$\vec{D} = \epsilon \vec{E} = \epsilon_r \epsilon_0 \vec{E}$$

Auf Oberfläche wie Punktladung

$$D(A) = \frac{Q}{A} = \frac{Q}{4\pi r^2}$$

Elektrischer Fluss ψ [C]

$$\psi = \oiint_A \vec{D} d\vec{A} = Q$$

Entspricht Ladung im Innern

Kapazität C [F]

$$C = \frac{Q}{U} \quad I(t) = C \frac{dU(t)}{dt}$$

Plattenkondensator

$$U = E \cdot d \quad C = \frac{\epsilon A}{d} = \frac{\epsilon_r \epsilon_0 A}{d}$$

Kugelkondensator

$$U = \int_a^b \frac{Q}{4\pi \epsilon_0 r^2} = \frac{Q}{4\pi \epsilon_0} \left(\frac{1}{b} - \frac{1}{a} \right)$$

$$C = 4\pi \epsilon_0 \frac{b \cdot a}{b - a}$$

Vielschicht-Kondensator

$$C_{ges} = (2n - 1) \frac{\epsilon A}{d}$$

Energie des aufgebauten Feldes (zB. C)

$$W = \frac{1}{2} C U^2 = \frac{1}{2} Q U = \iiint_V \frac{1}{2} \vec{E} \cdot \vec{D} dV$$

Wobei Energiedichte $w_e = \frac{1}{2} \vec{E} \cdot \vec{D}$

Gleichstrom

Stromdichte J [A/m²]

$$J = \frac{\Delta I}{\Delta A} = \frac{Q}{V} \cdot V_e = \kappa \vec{E}$$

Driftgeschw. $V_e = -\mu_e \vec{E}$

Elektrischer Strom I [A]

$$I = \frac{\Delta Q}{\Delta t} = \iint_A \vec{J} d\vec{A}$$

Spezifische Leitfähigkeit κ [A/Vm]

$$J = \kappa \vec{E} \quad \kappa = \frac{1}{\rho_R}$$

Spezifischer Widerstand ρ_R [Ωm]

$$\rho_R(T) = \rho_{R,20^\circ\text{C}} [1 + \alpha(T - 20^\circ\text{C}) + \beta \Delta T^2]$$

Elektrischer Widerstand R [Ω]

$$R = \frac{l}{\kappa A} = \frac{\rho_R(T) \cdot l}{A} = \frac{l}{G}$$

Leistung P [W]

$$P = U \cdot I = I^2 R = \frac{U^2}{R} = \frac{\Delta W_e}{\Delta t}$$

$$W_e = \int_t P(t) dt$$

Verlustleistungsdichte p_v [W/m]

$$p_v = \frac{dP}{dV} = \vec{E} \cdot \vec{J}$$

Elektrische Netzwerke

$$\text{Parallelschaltung:} \quad R_1 || R_2 = \frac{R_1 R_2}{R_1 + R_2}$$

$$\text{Spannungsteiler:} \quad \frac{U_2}{U} = \frac{R_2}{R_1 + R_2}$$

$$\text{Wheatstone:} \quad \frac{R_1}{R_2} = \frac{R_3}{R_4}, \text{ falls } I = 0$$

Quellenumrechnung $U \leftrightarrow I$

$$I_K = \frac{U_0}{R_i} \quad U_L = I_0 \cdot R_i$$

Leistungsanpassung

$$P_{Max} : R_i = R_L ; Z_i = Z_L^*$$

$$\text{Wirkungsgrad } \eta = \frac{P_L}{P_Q} \cdot 100\% ; \eta_{Max} = \frac{1}{2}$$

Analyse von z Zweigen

1. k-1 Knotengleichungen

2. m = z - (k-1) Maschengleichungen

a) Vollständiger Baum

Baum zwischen allen Knoten ohne eigene Masche

b) Auftrennen der Maschen

Masche nacheinander suchen und Zweig entfernen

3. Ersetze Zwg.spannungen durch Zwg.ströme

Korrekte Widerstandsmessung

Korrekte Spannungsmessung ($R \ll R_v$)

Spannungsmessgerät parallel zu Widerstand,
Strommessung vorher in Serie

$$R = \frac{U_v}{I_A - I_v} = \frac{U_v R_v}{I_A R_v - U_R}$$

Korrekte Strommessung ($R \gg R_A$)

Strommessgerät seriell zu Widerstand,
Spannungsmessung vorher parallel

$$R = \frac{U_v - U_A}{I_A} = \frac{U_v - R_A I_A}{I_A}$$

Stationäres Magnetfeld

Lorentz-Kraft: $\vec{F} = I \vec{s} \times \vec{B}$

Kraft auf Ladung Q

$$\vec{F} = Q (\vec{E} + \vec{v} \times \vec{B})$$

Gleiche Ströme ziehen sich an,
entgegengesetzte Ströme stossen sich ab

Rechte-Hand-Regel: Daumen I, Zeigf. B, Mittelf. F

Magnetische Flussdichte B [T]

$$B = \frac{\mu_0}{2\pi} * \frac{I}{d} = \mu_r \mu_0 H$$

Magnetische Feldstärke H [A/m]

$$\vec{H}(d) = \frac{\vec{B}}{\mu_0} = \frac{I}{2\pi d}$$

$$\oint H ds = \int_0^{2\pi} H r d\varphi = 2\pi r H(r) = \sum I$$

Oersted'sche Gesetz / Durchflutungssatz

$$\Theta = NI = \sum_i I_i = \oint_C \vec{H} d\vec{s} = \iint_A \vec{j} dA$$

Θ : *Durchflutung* \triangleq *erregender Quelle*

Verschiedene Leiteranordnungen

Unendlich langer kreisförmiger Leiter

$$H(p) = \begin{cases} I * \frac{p}{2\pi a^2} \vec{e}_\varphi & p \leq a \\ I * \frac{1}{2\pi p} \vec{e}_\varphi & p \geq a \end{cases}$$

Toroidspule

$$\text{in Spule:} \quad \vec{H} = \frac{N I}{2\pi p} \vec{e}_\varphi$$

$$\text{in Loch} \quad \vec{H} = 0$$

Zylinderspule (Toroid mit $r \rightarrow \infty$)

$$\vec{H} \approx \frac{N I}{l} \vec{e}_x$$

Reluktanzmodell

Magnetische Spannung V [A]

$$V_{m12} = \int_{P_1}^{P_2} \vec{H} d\vec{s} = \Theta = NI = \sum_i \frac{B_i}{\mu_i} * l_i$$

Magnetischer Fluss Φ [Vs = Wb]

$$\Phi = \iint_A \vec{B} d\vec{A} = \frac{V_m}{R_m}$$

Hüllenintegral: $\oint \vec{B} d\vec{A} = 0$

Magnetischer Widerstand (Reluktanz)

$$R_m = \frac{l}{\mu A} = \frac{V_m}{\Phi}$$

Knotenregel: $\sum \Phi = 0$

Maschenregel: $\sum R_m \Phi = \sum V_m = \Theta$

Flussverkettung

$$\Psi = N \Phi = \quad L I = N B A_K$$

Induktion L [H]

$$L = \frac{\Psi}{I} = \frac{N \Phi}{I} = \frac{N^2}{R_m}$$

A_L – Wert : $L = N^2 A_L$; $A_L = \frac{1}{R_m} [H]$

Ringkernspule (Toroid)

$$\text{Für } (b-a) \rightarrow 0: \quad L = N^2 \frac{\mu A_{\text{Kern}}}{l_{\text{Mittler}}}$$

Doppelleitung mit Abstand b

$$L_a = \frac{\mu_0 l}{2\pi} \ln\left(\frac{b}{a}\right) \rightarrow L_{\text{Ges}} = 2 N^2 (L_a + L_i)$$
$$L_i = \frac{\mu_0 l}{8\pi}$$

Kreis mit Luftspalt

verhindert Sättigung durch grosse Reluktanz

$$L = N^2 \frac{\mu_r \mu_0 A}{l_m + d \mu_r} \approx N^2 \frac{\mu_0 A}{d}$$

$$B = I * \sqrt{\frac{L}{A} \frac{\mu_r \mu_0}{l_m + d \mu_r}}$$

Kraft Magnetfeld

$$F_A = \frac{B^2}{2 \mu_0} A$$

Energieinhalt des Feldes einer Spule

$$W_m = \frac{1}{2} L I^2 = \frac{1}{2} \Phi I$$

$$W_m = \iiint_V w_m dV = \frac{1}{2} \iiint_V \vec{H} * \vec{B} dV$$

Magnetische Polarisation

Magnetisierung M verstärkt B-Feld

$$\vec{B} = \mu_0 (H + M) = \mu_0 \mu_r H$$

Diamagnetismus: $\mu_r < 1$, schwächt B

Paramagnetismus: $\mu_r > 1$, stärken B

Ferromagnetismus: $\mu_r \gg 1$
werden von Magneten stark angezogen

Materialübergänge

$$B_{\text{normal}1} = B_{n2} \rightarrow \frac{H_{n1}}{H_{n2}} = \frac{\mu_1}{\mu_2} = \frac{\tan(\alpha_1)}{\tan(\alpha_2)}$$

$$H_{\text{tangent}1} = H_{t2} \rightarrow \frac{B_{t1}}{B_{t2}} = \frac{\mu_1}{\mu_2} = \frac{\tan(\alpha_1)}{\tan(\alpha_2)}$$

Veränderliches elektromagnetisches Feld

Änderndes Magnetfeld -> E-Feld u. umgek.

Induktionsgesetz

$$U(t) = - \frac{d\Phi}{dt} = - \frac{d}{dt} \iint_A \vec{B} d\vec{A}$$

Lenz: induz. Strom verringert Ursache

Selbstinduktion: $U_L = L \frac{di}{dt}$

Induzierte Feldstärke

$$\vec{E} = \vec{v} \times \vec{B}$$

Wechselstrom

Komplexe Amplitude

$$\underline{\hat{u}}(t) = \hat{u} * e^{i(\omega t + \varphi_u)} = \hat{u} * e^{i\varphi} * e^{i\omega t}$$
$$= \hat{u} \cos(\omega t + \varphi) + \hat{u} \sin(\omega t + \varphi)$$

$$\varphi = \varphi_u - \varphi_I \quad \begin{cases} > 0 : \text{induktiv (U vor I)} \\ < 0 : \text{kapazitiv (I vor U)} \end{cases}$$

Kenngrossen bei periodischen Vorgängen

Mittelwert

$$\bar{u} = \frac{1}{T} \int_{t_0}^{t_0+T} u(t) dt$$

Bei sinusförmiger Funktion gilt $\bar{u} = 0$

Effektivwert

$$U_{eff} = \sqrt{\frac{1}{T} \int_0^T u^2(t) dt} = \frac{\hat{u}}{\sqrt{2}}$$

Gleichrichtwert

$$|\overline{u}| = \frac{1}{T} \int_0^T |u(t)| dt = \frac{2}{\pi} \hat{u}$$

Leistung [W]

$$p(t) = u(t) * i(t) \quad \begin{cases} < 0 : \text{Abgabe} \\ > 0 : \text{Aufnahme} \end{cases}$$

$$P = \frac{1}{T} \int_0^T u(t) * i(t) dt = \frac{1}{2} \operatorname{Re} \left\{ \frac{|\hat{u}|^2}{Z} \right\}$$

Leistungsanpassung: $P_{a,max}$ ($\eta = 0.5$) bei

Komplex: $Z_i = Z_a^*$

Reell: $R_i = |Z_a| = \sqrt{R_a^2 + X_a^2}$

Scheinleistung [VA]

$$\underline{S} = \frac{1}{2} \hat{\underline{u}} * \hat{\underline{i}}^* = U_{eff} * I_{eff} = P + iQ$$

$$|\underline{S}| = \sqrt{P^2 + Q^2} = \frac{U_{eff}^2}{|Z|} = I_{eff}^2 * |Z|$$

Leistungsfaktor: $\lambda = \frac{P}{|\underline{S}|} = \cos(\varphi_u - \varphi_i)$

$$P = \operatorname{Re}\{S\} = U_{eff} I_{eff} \cos(\varphi_u - \varphi_i) = \frac{U_{eff}^2}{R}$$

$$Q = \operatorname{Im}\{S\} = U_{eff} I_{eff} \sin(\varphi_u - \varphi_i) = \frac{U_{eff}^2}{R} = \sqrt{S^2 - P^2} = S\sqrt{1 - \lambda^2}$$

Impedanz & Bauelemente

$$Z = R + iX \quad ; \quad Y = \frac{1}{Z} = G + jB$$

Ohm'scher Widerstand

$$Z = R \quad ; \quad i_R = \frac{1}{R} * u_R$$

Induktivität

$$Z = j\omega L \quad ; \quad u_L = L * \frac{di(t)}{dt}$$

Kapazität

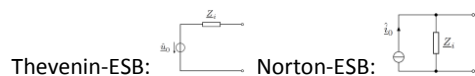
$$Z = \frac{1}{j\omega C} = -\frac{j}{\omega C} \quad ; \quad i_C = C * \frac{du(t)}{dt}$$

Integration: $\int dt \rightarrow \frac{1}{j\omega}$ Diff: $\frac{d}{dt} \rightarrow j\omega$

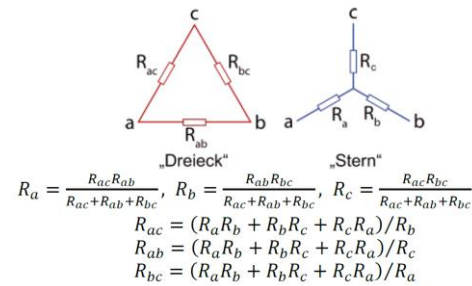
Umwandlung

Spannungsteiler: $U_2 = \frac{Z_2}{Z_1 + Z_2} * U_Q$

Stromteiler: $I_1 = \frac{Z_2}{Z_1 + Z_2} * I_Q$



Stern-Dreieck-Umwandlung



Drehstromsysteme

$$U_{Aussenleiter} = \sqrt{3} * U_{Innenleiter}$$

$$I_{Stern} = \sqrt{3} * I_{Dreieck}$$

$$u_1 = \hat{u} \sin(\omega t); u_2 = \hat{u} \sin(\omega t + \frac{2\pi}{3}); u_3 = \hat{u} \sin(\omega t + \frac{4\pi}{3})$$

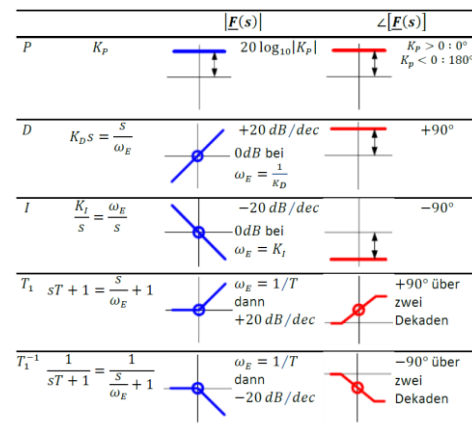
Symmetr. Last: $I_1 + I_2 + I_3 = 0 \rightarrow$ kein Rückleiter

$$S = \sum \frac{\hat{u}_i * \hat{i}_i}{2} = \frac{3}{2} \hat{u} * \hat{i}$$

$$P = \sum U I \cos(\varphi_i) = 3 * U I \cos(\varphi_u - \varphi_i)$$

Bode-Plotter

Bei Leistung Faktor 10 statt 20



Schwingkreise

$$\text{Güte } Q = \frac{2\pi \text{ Gesamtenergie}}{\text{Verlust pro Periode}} = \frac{2\pi W_{tot}}{P * T} = \frac{\omega W_{tot}}{U_{eff} * I_{eff}}$$

$$\text{Dämpfung } d = 1/Q$$

$$W_{tot} = \frac{1}{2} C * \hat{u}^2 = C U^2$$

Grenzfrequenz: wo $Q' = \frac{Q}{\sqrt{2}}$

- $|Re\{Z\}| = |Im\{Z\}|$, $|P| = |Q|$
- $|\varphi_{In} - \varphi_{Out}| = 45^\circ = \frac{\pi}{4}$
- Eingangsamplitude = $\frac{\text{Ausgangsamplitude}}{\sqrt{2}}$

Bandbreite: Frequenzband zw. Grenzfrequ.

$$B = f_2 - f_1 = \frac{1}{2\pi} (\omega_2 - \omega_1) = \frac{f_0}{Q}$$

Resonanz: Impedanzen werden rein reell ($Q=0$)

$$\omega_0 = 2\pi f_0 \rightarrow \begin{cases} S: Z \min \\ P: Z \max \end{cases}$$

Seriellschwingkreis

$$Z = R + j(\omega L - \frac{1}{\omega C})$$

Spannungsüberhöhung: C, L tauschen Spannung

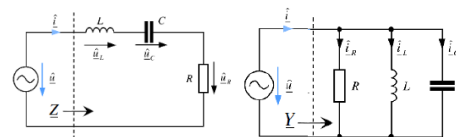
$$\frac{\hat{u}_{C,L \max}}{\hat{u}} \approx Q_s = \frac{1}{R} \sqrt{\frac{L}{C}}$$

Parallelschwingkreis

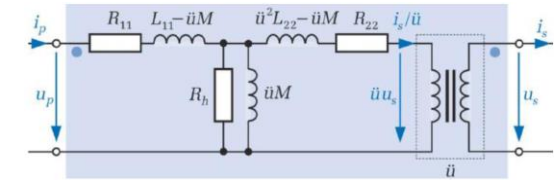
$$Y = \frac{1}{R} + j(\omega C - \frac{1}{\omega L})$$

Stromüberhöhung: C, L tauschen Strom

$$\frac{\hat{i}_{C,L \max}}{\hat{i}} \approx Q_p = R \sqrt{\frac{C}{L}}$$



Übertrager



$$\hat{u} = \frac{N_1}{N_2} = \frac{U_1}{U_2} = \frac{I_2}{I_1}$$

Hystereseverluste R_h

Streuinduktivität primär: $L_{S1} = L_{11} - uM$

Streuinduktivität sekundär: $L_{S2} = u^2 L_{22} - uM$

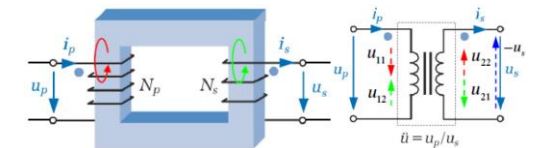
Magnetisierungsinduktivität $L_h = uM$

Gegeninduktivität: $M = k\sqrt{L_{11}L_{22}} = L_{12/21}$

Kopplung: Anteil d. Feldes durch beide Spulen

$$k = \pm \sqrt{k_{12}k_{21}} = \pm \frac{M}{\sqrt{L_{11}L_{22}}}$$

Streuungsfrei: $|k| = 1$; $k_{21} = \frac{\Phi_{21}}{\Phi_{11}} = \frac{M}{L_{11}}$



Bei Punkten stets selbe Polarität

$$u_p = L_{11} \frac{di_p}{dt} - M \frac{di_s}{dt} \quad ; \quad u_s = -L_{22} \frac{di_s}{dt} + M \frac{di_p}{dt}$$

Selbstinduktivität Prim: $L_{11} = N_1^2 \frac{\mu A}{l}$

Selbstinduktivität Seku: $L_{22} = N_2^2 \frac{\mu A}{l}$

Gegeninduktivität: $M = N_1 N_2 \frac{\mu A}{l}$

Magn. E: $W_m = \frac{1}{2} L_{11} I_1^2 + M I_1 I_2 + \frac{1}{2} L_{22} I_2^2$

Impedanztransformation

$$Z_p = \frac{u_p}{i_p} = \frac{\hat{u} * u_s}{i_s / \hat{u}} = \hat{u}^2 Z_s$$

Fourier-Analyse

$$f(x) = a_0 + \hat{a}_1 \cos(x) + \hat{a}_2 \cos(2x) + \hat{a}_3 \cos(3x) + \dots + \hat{b}_1 \sin(x) + \hat{b}_2 \sin(2x) + \hat{b}_3 \sin(3x) + \dots$$

Bedeutung:

$$u(t) = \underbrace{U_0}_{\text{DC}} + \underbrace{\hat{u}_1 \cos(\omega t + \varphi_1)}_{\text{Grundschwingung}} + \underbrace{\hat{u}_2 \cos(2\omega t + \varphi_2)}_{\text{Oberschwingungen}} + \dots$$

1. Schwingung z.B. $\underline{Z} = j\omega L$, 5. Schwingung: $\underline{Z} = j5\omega L$

Normalform:

$$u(t) = a_0 + \sum_{n=1}^{\infty} \left[\hat{a}_n \cos\left(n2\pi \frac{t}{T}\right) + \hat{b}_n \sin\left(n2\pi \frac{t}{T}\right) \right]$$

Spektralform:

$$u(t) = \sum_{n=1}^{\infty} \hat{c}_n \sin(n\omega t + \varphi_n) = \sum_{n=1}^{\infty} \hat{c}_n \cos(n\omega t + \psi_n)$$

$$\tan(\varphi_n) = \frac{\hat{a}_n}{\hat{b}_n}, \quad \hat{c}_n = \sqrt{\hat{a}_n^2 + \hat{b}_n^2}, \quad \tan(\psi_n) = \frac{\hat{b}_n}{\hat{a}_n}$$

Koeffizientenberechnung:

DC-Anteil:

$$a_0 = \frac{1}{T} \int_0^T u(t) dt = \frac{1}{2\pi} \int_0^{2\pi} u(\omega t) d(\omega t) = \text{Mittelwert}$$

Andere Koeffizienten:

$$\hat{a}_n = \frac{2}{T} \int_0^T u(t) \cos(n\omega t) dt = \frac{1}{\pi} \int_0^{2\pi} u(\omega t) \cos(n\omega t) d(\omega t)$$

$$\hat{b}_n = \frac{2}{T} \int_0^T u(t) \sin(n\omega t) dt = \frac{1}{\pi} \int_0^{2\pi} u(\omega t) \sin(n\omega t) d(\omega t)$$

Komplexe Form:

$$u(t) = c_0 + \sum_{n=1}^{\infty} [\hat{c}_n e^{jn\omega t} + \hat{c}_{-n} e^{-jn\omega t}] = \sum_{n=-\infty}^{\infty} \hat{c}_n e^{jn\omega t}$$

Umrechnung:

$$c_0 = a_0, \quad \hat{c}_n = \frac{\hat{a}_n - j\hat{b}_n}{2}, \quad \hat{c}_{-n} = \frac{\hat{a}_n + j\hat{b}_n}{2} = \hat{c}_n^*$$

Direkte komplexe Koeffizientenberechnung:

$$\hat{c}_n = \frac{1}{T} \int_0^T u(t) e^{-jn\omega t} dt$$

Konvertierung real \leftrightarrow komplex:

$$a_0 = c_0, \quad \hat{a}_n = 2\Re(\hat{c}_n), \quad \hat{b}_n = -2\Im(\hat{c}_n)$$

Stammfunktionen zur Fourier-Zerlegung

$$\int_{T_1}^{T_2} \sin(\omega t) \cos(\omega t) dt = \left[-\frac{\cos(2\omega t)}{4\omega} \right]_{T_1}^{T_2}$$

$$\int_{T_1}^{T_2} \sin(\omega t) \cos(n\omega t) dt = \left[\frac{\cos(\omega t) \cos(n\omega t) + n \sin(\omega t) \sin(n\omega t)}{\omega(n^2 - 1)} \right]_{T_1}^{T_2}$$

$$\int_{T_1}^{T_2} \sin(\omega t) \sin(\omega t) dt = \left[\frac{t}{2} - \frac{\sin(2\omega t)}{4\omega} \right]_{T_1}^{T_2}$$

$$\int_{T_1}^{T_2} \sin(\omega t) \sin(n\omega t) dt = \left[\frac{\cos(\omega t) \sin(n\omega t) - n \sin(\omega t) \cos(n\omega t)}{\omega(n^2 - 1)} \right]_{T_1}^{T_2}$$

Trigonometrische Zusammenhänge

$$\sin^2(x) = \frac{1 - \cos(2x)}{2}$$

$$\cos(\arcsin(x)) = \sqrt{1 - y^2}, \quad \sin(2 \arcsin(x)) = 2x\sqrt{1 - y^2}$$

$$\int_0^T \sin^2(\omega t) dt = \frac{T}{2}; \quad \int_{T_1}^{T_2} \cos^2(\omega t) dt = \frac{t}{2} + \frac{\sin(2\omega t)}{2\omega}$$

Symmetrien & Vereinfachungen

Gerade Funktionen:

$$u(t) = u(-t) \rightarrow \text{gerade Funktion} \rightarrow b_n = 0$$

$$a_0 = \frac{2}{T} \int_0^{\frac{T}{2}} u(t) dt, \quad \hat{a}_n = \frac{4}{T} \int_0^{\frac{T}{2}} u(t) \cos(n\omega t) dt$$

Ungerade Funktionen:

$$u(t) = -u(-t) \rightarrow \text{ungerade Funktion} \rightarrow a_0 = a_n = 0$$

$$\hat{b}_n = \frac{4}{T} \int_0^{\frac{T}{2}} u(t) \sin(n\omega t) dt$$

Halbwellensymmetrie: $u(t) = -u(t + T/2)$

$$a_0 = a_{2n} = b_{2n} = 0$$

$$\hat{a}_{2n-1} = \frac{4}{T} \int_0^{\frac{T}{2}} u(t) \cos[(2n-1)\omega t] dt$$

$$\hat{b}_{2n-1} = \frac{4}{T} \int_0^{\frac{T}{2}} u(t) \sin[(2n-1)\omega t] dt$$

Gerade Funktion mit Halbwellensymmetrie:

$$a_0 = \hat{a}_{2n} = \hat{b}_n = 0$$

$$\hat{a}_{2n-1} = \frac{8}{T} \int_0^{\frac{T}{4}} u(t) \cos[(2n-1)\omega t] dt$$

Ungerade Funktion mit Halbwellensymmetrie:

$$a_0 = \hat{a}_n = \hat{b}_{2n} = 0$$

$$\hat{b}_{2n-1} = \frac{8}{T} \int_0^{\frac{T}{4}} u(t) \sin[(2n-1)\omega t] dt$$

Achsenverschiebung/Zeitverschiebung: $t \mapsto t - t_0$

$$\hat{a}_{n,neu} = \hat{a}_n \cos(n\omega t_0) - \hat{b}_n \sin(n\omega t_0)$$

$$\hat{b}_{n,neu} = \hat{a}_n \sin(n\omega t_0) + \hat{b}_n \cos(n\omega t_0)$$

Überlagerung bekannter Transformationen.

Zerlegung in geraden und ungeraden Anteil:

$$u(t) = u_g(t) + u_u(t)$$

$$u_g(t) = \frac{1}{2} [u(t) + u(-t)], \quad u_u(t) = \frac{1}{2} [u(t) - u(-t)]$$

Leistungen bei Fourier

$$U_{eff} = \sqrt{a_0^2 + \sum a_n^2 + b_n^2}$$

$$P = u_0 i_0 + \frac{1}{2} \sum_1 u_n i_n \cos(\varphi_u - \varphi_i) = \sum_0 \frac{a^2 + b^2}{2}$$

$$u_n = \sqrt{a_n^2 + b_n^2}; \quad i_n = \sqrt{a_n^2 + b_n^2}$$

$$\text{Grundschwingungsgehalt } g = \frac{U_1}{U} = \frac{\hat{u}_1}{\sqrt{2} U}$$

$$\text{Klirrfaktor } k = \sqrt{1 - g^2}, \quad k_n = \frac{u_n}{U}$$

Verzerrungsblindleistung D, Verschiebungsblindleistung Q

Gesamtblindleistung [VAR]

$$Q = \sqrt{\tilde{Q}^2 + D^2} = \sqrt{S^2 - P^2}$$

Laplace-Transformation

$$u_L = L \frac{di_L}{dt}, \quad i_C(t) = C \frac{du_C}{dt}$$

Differentiationsatz:

$$f'(t) \leftrightarrow s \cdot F(s) - f(0)$$

Komponenten:

Induktivität:

$$\underline{U}_L(s) = L s \underline{I}_L(s) - L i_{L0}$$

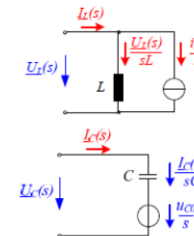
$$\underline{I}_L(s) = \frac{\underline{U}_L(s)}{L s} + \frac{i_{L0}}{s}$$

Kondensator:

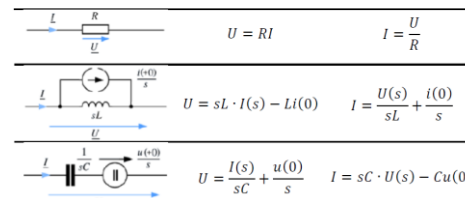
$$\underline{I}_C(s) = C s \underline{U}_C(s) - C u_{C0}$$

$$\underline{U}_C(s) = \frac{\underline{I}_C(s)}{C s} + \frac{u_{C0}}{s}$$

Allgemein: Wie normal, aber mit $j\omega = s$.



Anfangswerte



ACHTUNG: Vorzeichen! Meistens: $\underline{I}_C = -\underline{I}_R$

$u(t)$	$\underline{U}(s)$
$a_1 u_1(t) + a_2 u_2(t)$	$a_1 \underline{U}_1(s) + a_2 \underline{U}_2(s)$
$u(at)$	$\frac{1}{a} \underline{U}\left(\frac{s}{a}\right)$
$u(t - t_0)$	$e^{-st_0} \underline{U}(s)$
$e^{-at} u(t)$	$\underline{U}(s + a)$
$u'(t)$	$s \underline{U}(s) - u(0)$
$-tu(t)$	$\underline{U}'(s)$
$t^2 u(t)$	$\underline{U}''(s)$
$(-t)^n u(t)$	$\underline{U}^{(n)}(s)$
$\int_0^t u(\tau) d\tau$	$\frac{1}{s} \underline{U}(s)$
$\frac{1}{t} u(t)$	$\int_s^\infty \underline{U}(\tau) d\tau$
$u_1(t) * u_2(t)$	$\underline{U}_1(s) \cdot \underline{U}_2(s)$
$u(t) = u(t + T)$	$\frac{1}{1 - e^{-sT}} \int_0^T u(t) e^{-st} dt$

Schaltvorgänge

1. $u_p(t)$: Schalter geschlossen, normal rechnen

2. R_g : Schalter schliessen, Quellen ausschalten

$$u_C(t) = u_{CP}(t) - [u_{CP}(t_0) - u_{C0}] * e^{-\frac{t-t_0}{C R_g}}$$

$$i_L(t) = i_{LP}(t) - [i_{LP}(t_0) - i_{L0}] * e^{-\frac{R_g(t-t_0)}{L}}$$

$$\text{Zeitkonstante } \tau = RC = \frac{L}{R}$$

u_p/i_p : partikuläre Lösung für $t \rightarrow \infty$

bei mehreren Energiespeichern: Laplace/DGL lösen

Zweitore

Eingangsimpedanz: Impedanz aus Sicht der Quelle

Vierpol: $\underline{I}_1 + \underline{I}_2 + \underline{I}_3 + \underline{I}_4 = 0$

Für Zweitore gilt die

Torbedingung:

$$\underline{I}_1 = \underline{I}'_1, \quad \underline{I}_2 = \underline{I}'_2$$

Z: Impedanzmatrix = \underline{Y}^{-1}

$$(\underline{U}_1; \underline{U}_2) = \underline{Z} \cdot (\underline{I}_1; \underline{I}_2)$$

H: Hybridmatrix

$$(\underline{U}_1; \underline{I}_2) = \underline{H} \cdot (\underline{I}_1; \underline{U}_2)$$

Y: Admittanzmatrix = \underline{Z}^{-1}

$$(\underline{I}_1; \underline{I}_2) = \underline{Y} \cdot (\underline{U}_1; \underline{U}_2)$$

A: Kettenmatrix

$$(\underline{U}_2; \underline{I}_1) = \underline{A} \cdot (\underline{U}_1; -\underline{I}_2)$$

Reziproke Zweitore:

$$Z_{21} = Z_{12}, \quad Y_{21} = Y_{12}, \quad H_{21} = -H_{12}, \quad \det(A) = 1$$

Symmetrische Zweitore: symmetrisch \Rightarrow reziprok

$$Z_{22} = Z_{11}, \quad Z_{21} = Z_{12}, \quad Y_{22} = Y_{11}, \quad Y_{21} = Y_{12}$$

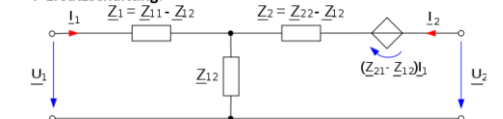
$$\det(A) = 1, \quad A_{22} = A_{11}, \quad \det(H) = 1, \quad H_{21} = -H_{12}$$

Rückwirkungsfreie Zweitore: Eingang unabh. von Ausgang

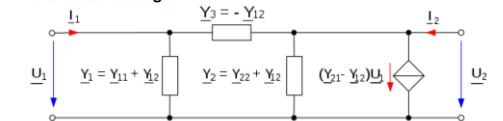
$$Z_{12} = 0, \quad Y_{12} = 0, \quad H_{12} = 0, \quad P_{12} = 0$$

Ersatzschaltungen

T-Ersatzschaltung:

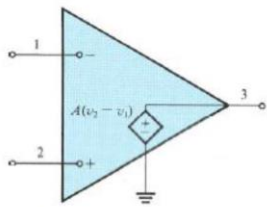


π -Ersatzschaltung:



Operationsverstärker

Operations-Verstärker



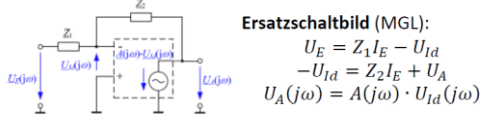
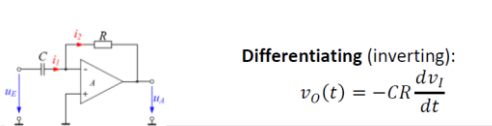
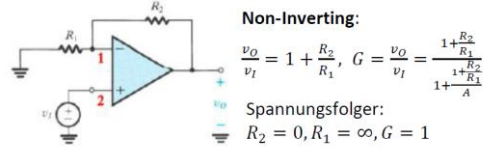
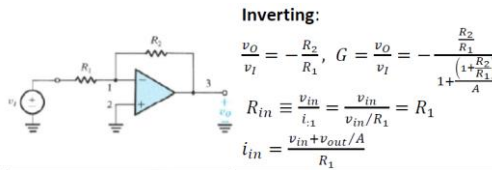
$$v_{out} = (v_+ - v_-)A$$

$$\underline{A}(\omega) = \frac{A_0}{1 + j\omega/\omega_b}$$

ω_b : Knickfrequenz
 ω_t : Transitfrequenz
 $\omega_t = A_0\omega_b$
 $|\underline{A}(\omega_t)| = 1$
 $|\underline{A}(\omega)| \cdot \omega = \text{konst.}$

Ideal: $A = \infty \rightarrow v_{Id} = v_2 - v_1 = 0$, freq.unabh., kein Eingangsstrom, kein Ausg.-Widerst., keine Commonmode-Ampl
Real: A endlich, frequenzabh., Commonmode-Amp, Sättigung, slew rate, Offsetspannung & -strom
Relativer Fehler: $f = \frac{A_{d,ist} - A_{d,soll}}{A_{d,soll}}$
Slew Rate: $SR = \frac{dU_{out}}{dt} = \text{max. Anstiegsrate}$
 Beim OPAMP kommt die gesamte Leistung von der Versorgung

OPAMP Konfigurationen



Non-default configurations:
 No current inside the OPAMP
 "Virtual Ground" at neg. Inp.

$$v = \frac{du_O}{du_I}$$

Frequenzverhalten

$$\underline{A}(j\omega) = \frac{A_0}{1 + j\frac{\omega}{\omega_b}}$$

$$|\underline{A}(j\omega)| \approx \frac{A_0\omega_b}{\omega} = \frac{\omega_t}{\omega} \quad \text{für } \omega \gg \omega_b$$

DC-Verstärkung $|\underline{A}(0)| = A_0$

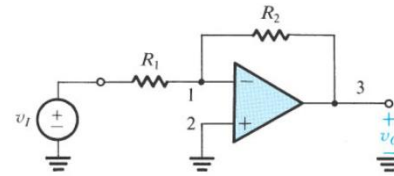
Transitfrequenz $|\underline{A}(j\omega_t)| = 1 = 0 \text{ dB}$

Grenzfrequenz $|\underline{A}(j\omega_b)| = \frac{1}{\sqrt{2}} A_0$

$$A_{0,dB} = 20 * \log(A_0) \rightarrow A_0 = 10^{\frac{A_{0,dB}}{20}}$$

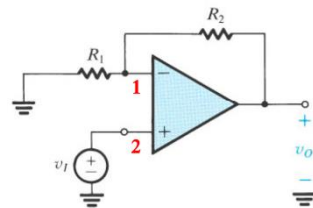
Invertierender OPV

$$\frac{U_a}{U_e} = -\frac{Z_2}{Z_1}$$



Nichtinvertierender OPV

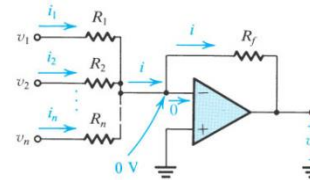
$$A = \frac{U_a}{U_e} = 1 + \frac{Z_2}{Z_1}$$



Spannungsfolger: $R_2 = 0, R_1 = \infty, A = 1$

Addierer/Summierverstärker

$$U_a = -\left(\frac{Z_f}{Z_1} * U_1 + \dots + \frac{Z_f}{Z_n} * U_n\right)$$

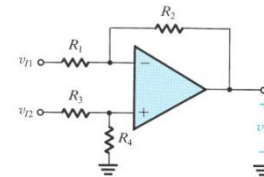


Differenzverstärker

$$U_a = A_{common} * U_{cm} + A_{diff} * U_{diff}$$

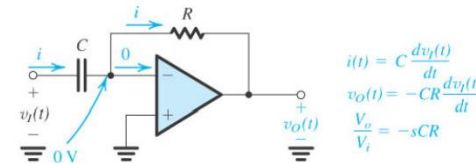
$$U_a = \frac{R_2}{R_1} (U_2 - U_1) \quad ; \quad \frac{R_4}{R_3} = \frac{R_2}{R_1}$$

Common-Mode Rejection Ratio CMRR: $20 \log \frac{|A_d|}{|A_{cm}|} \rightarrow \infty$



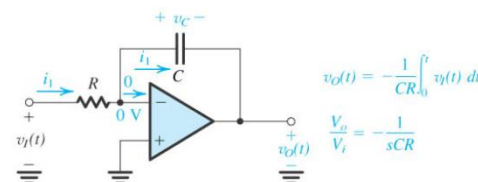
Differentierer

$$u_a = -RC \frac{d u_e}{dt}$$



Integrator

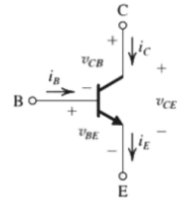
$$u_a = -\frac{1}{RC} \int_0^t u_e(t) dt + u_{C0}$$



Bipolar-Junction Transistor

Grundsätzlich **NPN** ; bei **PNP** alle Vorzeichen kehren

v_{BE} : Basis-Emitter-Spannung
 v_{CE} : Kollektor-Emitter-Spannung
 v_{CB} : Kollektor-Basis-Spannung
 I_B : Basisstrom
 I_C : Kollektorstrom
 I_E : Emitterstrom



BJT entspricht *spannungsgesteuerter Stromquelle im aktiven Bereich*

$$\beta_{BC} = \frac{I_C}{I_B}$$

$$I_E = I_C + I_B = I_B(1 + \beta)$$

$$I_B = \frac{I_S}{\beta_{BC}} * e^{\frac{V_{BE}}{V_T}} \quad ; \quad V_T = \frac{k T}{q}$$

Arbeitsbereich	v_{BE}	v_{CE}
Sperrung	$< 0.7 \text{ V}$	
Verstärkung	$> 0.7 \text{ V}$	$> 0.3 \text{ V}$
Sättigung	$> 0.7 \text{ V}$	$< 0.3 \text{ V}$

$$i_E = \frac{i_C}{\alpha} = (\beta + 1) i_B \quad \alpha = \frac{\beta}{\beta + 1}$$

$$i_B = \frac{i_C}{\beta} = (1 - \alpha) i_E \quad \beta = \frac{\alpha}{1 - \alpha}$$

$$i_C = I_{Se} e^{\frac{V_{BE}}{V_T}} \quad P = V_{BE} I_B + V_{CE} I_C$$

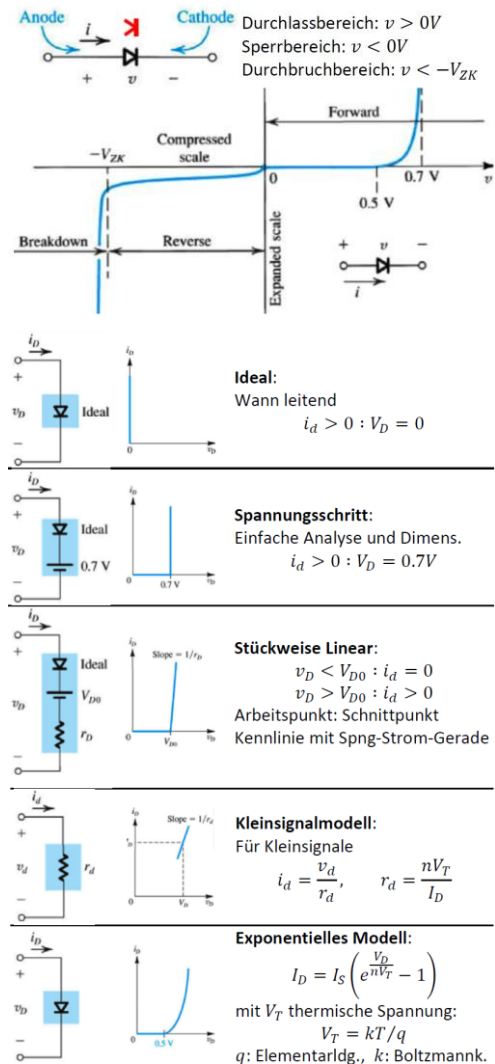
Early-Effekt

$$i_C = I_{Se} e^{\frac{V_{BE}}{V_T}} \left(1 + \frac{V_{CE}}{V_A}\right)$$

BJT als Schalter: S.721

Daumenregel: $V_{CB} = V_{BB} \approx 1/3 V_{CC}$

Diode



Zehner-Diode



Arbeitspunktbestimmung

1. Diodenkennlinie I_B / V_{BE} einzeichnen

2. Thevenin-ESB der Schaltung (links)

- Kurzschlussstrom: $\frac{U}{R_B}$
- Leerlaufspannung: U

-> Kurven schneiden

Kleinsignalanalyse S.733

1. Arbeitspunktbestimmung

2. Berechnen d. Kleinsignalgrößen

3. Eliminieren der DC-Quellen

4. Ersetzen des BJT durch ESB

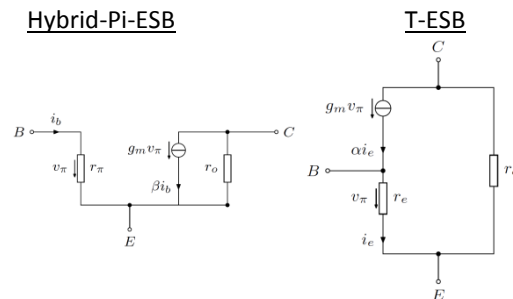
5. Untersuchung der Systemgrößen

Bsp: S. 744

$$g_m = I_C / V_T$$

$$r_\pi = \beta_{AC} / g_m = (\beta + 1) r_e$$

Hybrid-Pi-ESB



$$g_m = \frac{I_C}{V_T} \quad r_\pi = \frac{V_T}{I_B} = \frac{\beta}{g_m} = (\beta + 1) r_e$$

$$r_o = \frac{|V_A|}{I_C} \quad r_e = \frac{V_T}{I_E} = \frac{\alpha}{g_m}$$

Generelles

$$\vec{e}_\varphi = -\frac{y}{\rho} \vec{e}_x + \frac{x}{\rho} \vec{e}_y = -\sin \varphi \vec{e}_x + \cos \varphi \vec{e}_y$$

Gleichmässige Beschleunigung

$$s = \frac{1}{2} a t^2 \quad v = a * t$$

Kinetische Energie

$$E_{Kin} = \frac{1}{2} m v^2 = U * Q$$

Gravitationskraft

$$F_G = G * \frac{M * m}{r^2} \quad G = 6.6738 * 10^{-11} m^3 kg^{-1} s^{-2}$$

Zentripetalkraft

$$a = v^2 / r$$

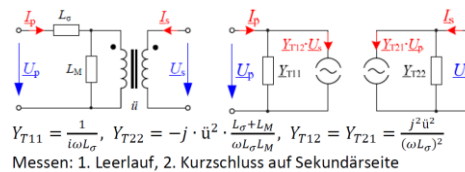
Moment

$$\vec{M} = \vec{r} \times \vec{F}$$

Relativer Fehler

$$\Delta R = \frac{W_{Messung} - W_{Ist}}{W_{Ist}}$$

ESB Transformator & Admittanz-ESB



Stammfunktionen

$$\begin{aligned} \sin(\omega t) \sin(\omega t) &= \frac{t}{2} - \frac{\sin(2\omega t)}{4\omega} \\ \sin(\omega t) \cos(\omega t) &= -\frac{\cos(2\omega t)}{4\omega} \\ \sin(\omega t) \sin(n\omega t) &= \frac{n \cos(\omega t) \sin(n\omega t) - \sin(\omega t) \cos(n\omega t)}{\omega(n^2 - 1)} \\ \sin(\omega t) \cos(n\omega t) &= \frac{n \sin(\omega t) \sin(n\omega t) + \cos(\omega t) \cos(n\omega t)}{\omega(n^2 - 1)} \\ \cos(\omega t) \sin(n\omega t) &= \frac{\sin(\omega t) \sin(n\omega t) + n \cos(\omega t) \cos(n\omega t)}{\omega(1 - n^2)} \\ \cos(\omega t) \cos(n\omega t) &= \frac{\sin(\omega t) \cos(n\omega t) + n \cos(\omega t) \sin(n\omega t)}{\omega(1 - n^2)} \end{aligned}$$

Mathematische Formeln

Geom. Summe $\sum_{k=0}^n x^k = \frac{1-x^{n+1}}{1-x}$

Kosinussatz $a^2 = b^2 + c^2 - 2bc \cos \alpha$

Kugelvolumen $V = \frac{4}{3} \pi r^3$

Kugeloberfläche $A = 4\pi r^2$

Physikalische Gesetze

Kinetische Energie $E_{kin} = \frac{1}{2} m v^2$

Potentielle Energie $E_{pot} = mgh$

Spannenergie $E_{pot} = \frac{1}{2} m x^2$

Auftriebskraft $F = \rho g V$

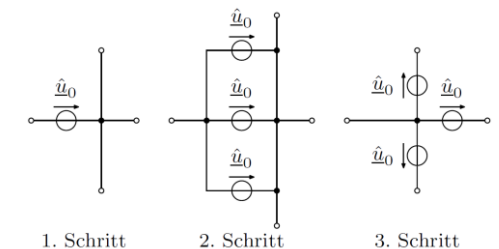
Federkraft $F = -kx$

Gravitationskraft $F = G \frac{m_1 m_2}{r^2}$

Zentripetalkraft $F = m \omega^2 r = m \frac{v^2}{r}$

Quellenteilung

Spannungsquelle



Stromquelle

